



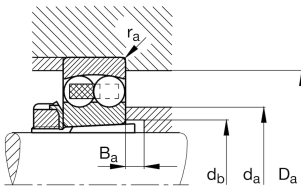
FAG

1210-K-TVH [↗](#)

Радиальный сферический шарикоподшипник

Радиальный сферический шарикоподшипник 12.-K-TVH, коническое отверстие, конусность 1:12, пластмассовый сепаратор

Техническая информация



Ваш текущий вариант продукта

Исполнение отверстия	K	Коническое, 1:12
Уплотнение	Without	Not sealed
Cage	TVH	Solid cage made of glass-fiber reinforced polyamide PA66
Tolerance class	PN	Normal (ISO 492:2023)
Радиальный зазор	CN (Group N)	Normal internal clearance
Lubricant	Without	Bearing not greased

Основные размеры и рабочие характеристики

d	50 mm	Диаметр отверстия
D	90 mm	Наружный диаметр
B	20 mm	Ширина
C _r	22.900 N	Динамическая грузоподъемность, радиальная
C _{0r}	8.100 N	Статическая грузоподъемность, радиальная
C _{ur}	520 N	Предел усталостной нагрузки, радиальный
n _G	8.700 1/min	Предельная частота вращения
n _{gr}	7.700 1/min	Номинальная тепловая частота вращения
m	0,51 kg	Вес



Присоединительные размеры

$d_{a \min}$	57 mm	Мин. диаметр заплечика вала
$d_{a \max}$	62 mm	Макс. диаметр заплечика вала
$D_{a \max}$	83 mm	Макс. диаметр заплечика корпуса
$d_{b \min}$	53 mm	Мин. диаметр под втулку
$B_{a \min}$	5 mm	Мин. глубина под втулку
$r_{a \max}$	1 mm	Макс. радиус галтели

Габаритные размеры

r_{\min}	1,1 mm	Мин. размер монтажной фаски
D_1	77,13 mm	Диаметр заплечика для наружного кольца
d_1	62,7 mm	Диаметр заплечика внутреннего кольца

Диапазон температур

T_{\min}	-30 °C	Мин. рабочая температура
T_{\max}	120 °C	Макс. рабочая температура

Коэффициенты для расчета

e	0,2	Предельное значение F_a/F_r для применимости различн. значений коэффициентов X и Y
Y_1	3,15	Динамический коэффициент осевой нагрузки
Y_2	4,87	Динамический коэффициент осевой нагрузки
Y_0	3,3	Статический коэффициент осевой нагрузки

Дополнительная информация

H210

Закрепительная втулка



Характеристики



Радиальная нагрузка



Осевая нагрузка в одном направлении



Осевая нагрузка в обоих направлениях



Смазывание пластичной смазкой



Смазывание маслом



Без уплотнений



Статические угловые и линейные несоосности



Динамические угловые и линейные несоосности